

不連続部を含む岩盤のスムーズブレッディングのための模型実験

山口大学 中川浩二 日本化薬 坂本 伸
徳山高専 橋本堅一 山口大学 福谷和史

1. はじめに

SBの考え方方が我が國へ導入されからかなりの年月と経てあり、岩盤凍結現場においては現場技術者の手により種々の工夫がなされているが、その統一的な検討はあまりみられないようである。その理由の一つとして実際の岩盤の力学特性が極めて種々あることを挙げよう。この岩盤特性を理解する大きな要因として岩盤中の不連続部がある。岩盤中に含まれる層理、節理といつて不連続面はその厚さ、介在物、密度、発達方向などの観察、構成岩質の力学特性などの要因を有していられる。そのため定量的な意味で不連続部を有する岩盤におけるSBの機能を明らかにすることは非常に困難である。このような状態を考慮すると層理、節理等の連続部と含む岩盤のSBを行ふに際して典型的な不連続部を含む岩盤における定性的な爆破クラックの発生、発達に関する知識とともに個々の現場においてその岩盤の特性を考慮しつゝ適当な工夫を行ふことが重要である。

本研究では上述のような考え方とともにコンクリートモデル供試体と工夫して不連続部を含む岩盤の模型を作成し、これを用いて模型実験を行ない、不連続部を含む供試体との爆破破断面の形成機構に関する検討を行った。

2. 不連続部を有する岩盤のSBにおける模型実験

a) 目的：層理あるいは節理を有する岩盤のSBを考えるとき、SB結果に影響を与える要因が多い。しかしそのうちの主要な要因について実験することのみ困難である。そのためここでは不連続部を含む岩盤におけるクラックの発生、発達に関する基礎的資料を得るために種々の要因のうち比較的基本的なものと想われる(1)不連続部の種類、(2)不連続面と破断予定面との傾き、(3)爆破孔距離ととり挙げる。そしてこれらを変化させることにより爆破したとき破断面形成がどのように不連続面の影響を受けるかを検討する。

b) 実験：供試体は $57 \times 27 \times 10.5$ cmのコンクリート製であり、その概形を図-1に示す。不連続面の状態としてA: コンクリート片々離ぎ面、B: 片々離ぎ面に 0.013 mm厚でのアリエテレンシートをはさんだもの、C: 片々離ぎ面に 0.3 mm厚でのビニールシートをはさんだもの、およびD: 台形部分を不連続面に含めやすくその間に微小な空隙としたものの、の4種類ととく。ここではDの不連続面は鋼板と用ひて平滑に仕上げられてこのコンクリート面と接触させているが、実際には表面を密着させることは困難であり、不連続面は多くの場合 1 mm程度の空隙を有している。そのためこの供試体では不連続面は自由面に近づきやすくなると思われる。また不連続面は内側から等しい距離にあり、爆破孔間距離 S と破断予定面と 22.5° , 45° , 67.5° , 90° の傾きを有している。また同時に爆破距離 25 cmである。

c) 実験結果：写真-1に不連続部を含む供試体の爆破例を示す。写真中の文字は不連続面の種類(A, B, C, D), 不連続面の傾き(22.5° , 45° , 67.5° , 90°), 爆破孔間距離(10 , 15 , 20 , 25 , 30 cm)を表す。爆破に伴う生じた破断面の平滑度の尺度としてのUnevennessを次のように考える。すなはち図-2のように1ラックの発生がみられたとある。そのとき爆破孔の破断面に対するUnevennessは図のように地山側へa、自由側へbとして表示される。これらのUnevennessを数的に取り扱うこととし、地山側へ生じたものの正、自由

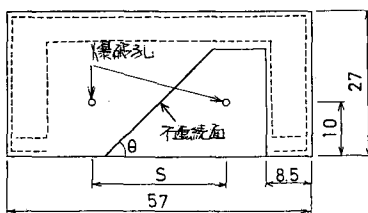


図-1 供試体の概形
(単位cm)

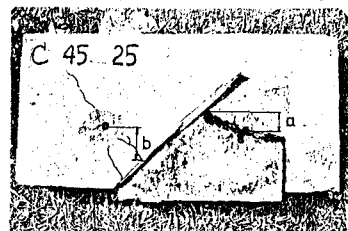


図-2 破断面の形状とUnevenness
a: 正, b: 負

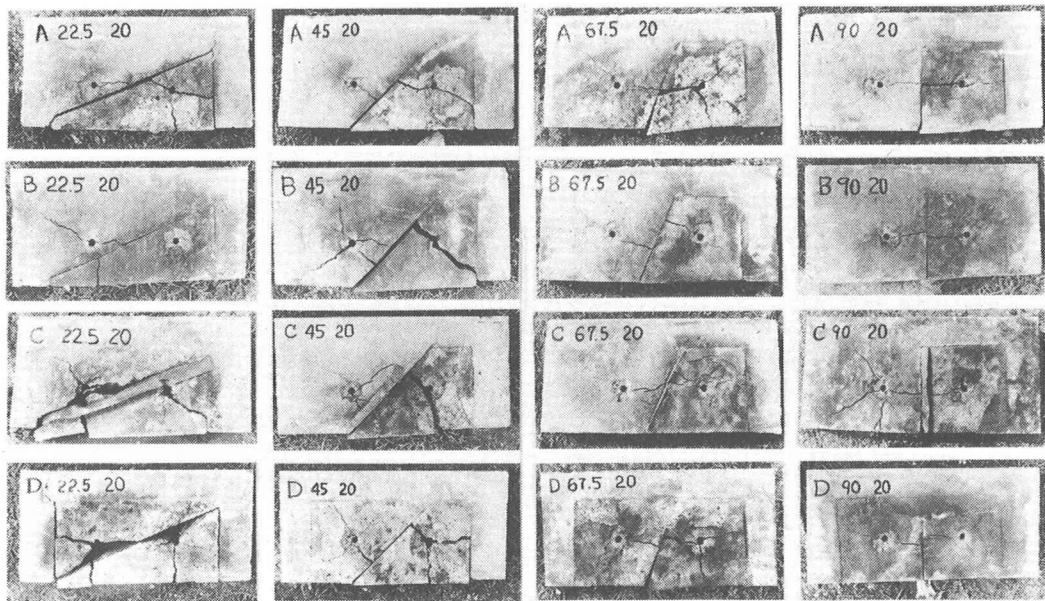


写真1 不連続面を含む供試体の爆破例

面側へ生じたものをとす。すなはち供試体によればUnevennessの値は正のみのもの、負のみのもの、そして正と負の両者の値を有するものがあることになる。図-3にそれらの供試体について得られたUnevennessと不連続面の関係を示すが、および不連続面の状態ごとに爆破孔周際に對して示してある。図中の○は正のUnevenness、●は負のUnevennessとして得られたものである。

3. 不連続面近くで爆破された爆破孔からのクラックの発達に就いて

a) 実験的目的と実験：前節の実験に於ける爆破孔の形成は爆破孔から爆破面へ向て発達するクラックと不連続面との距離によりますことほとんどどの供試体で認められる。従つて单一の爆破孔から不連続面へ発達するクラックの不連続面への況みおよび爆破孔から不連続面までの距離による変化を検討することは有用である。そこでこの問題を実験的に考究することとし、不連続面の状態として前節の不連続面A, C, Dに対応してCNC-11-1T形織ぎ面、T形織ぎ面の間に0.3mm厚とのビニールシートをはさんだものととり、Dに対応して参考のために自由面を考え、3種類の不連続条件について検討することとする。以後これら供試体の場合も不連続面のみをA, C, Dと呼ぶことにする。

b) 実験結果：爆破により発達したクラックを有する供試体の例を写真-2に示す。写真からみられるように不連続面から爆破孔までの距離Tが小さい場合はクラックの発達は放射状に認められ、不連続面に到達したクラックの位置は爆破孔から下して垂線の足の内側にある。しかし距離Tが増加するとともに爆破孔から不連続面へ発達するクラックはやがて一本となりかつ不完全となる。この爆破孔から不連続面へ到達したクラックのうち垂線の足の位置からの距離が最大のものを右側にとめて小括弧を含め記測し図示したものが図-4である。写真に於ける垂線の足の左側へ出たものをL₁(正), 右側へ出たものをL₂(負)とする。図-4 a), b), c) は比較的供試体A, C, Dに対応する。

4. 不連続面を含む岩盤との爆破破断面の形成に関する考察

a) 爆破孔から不連続面へのクラックの発達：写真-2にみられるように爆破孔から不連続面までの距離Tが比較的小さい場合にはクラックは爆破孔から不連続面へ下して垂線の内側に発達する。この状況はDの供試体よりC, L₁-L₂となるが、A, Cの供試体では多數の放射状クラックとしてみられる。しかしTの値がある値よりも大きくなると不連続面に向うクラックの本数は減少し、やがて1本となる。図-4 b), c) は(供試体AおよびD

2-(3) この放射状のクラックから单一のクラックへの変化に伴い、 L_1, L_2 の値に明確な現れがあり、クラックが单一となると L_1, L_2 の値が著しく小さくなる。これにくらべて図-4-a) (実験条件 A) では L_1, L_2 の値の変化は明確ではない。しかしいずれの場合にも発達するクラックの傾向をみるとその限界は明らかであり、W がみる値より大きい場合にはしあるには L_2 一方のみとなり、小さい場合には L_1, L_2 共に計測される。この限界となる W の値は(ここでは実験条件 A) 2 クラックの発達が垂直の一方向か両方か違うらは W の値。図-2 図中のデータ数が4つあるのはどちらともない、b), c) に 11.2 と 9.5 cm, 6 cm, 7~8 cm となる。そして 2-3 二重鏡面の垂直度精度が A, C, D の順に高くなること対応して 2113。

いまここで図-3 に示すよう

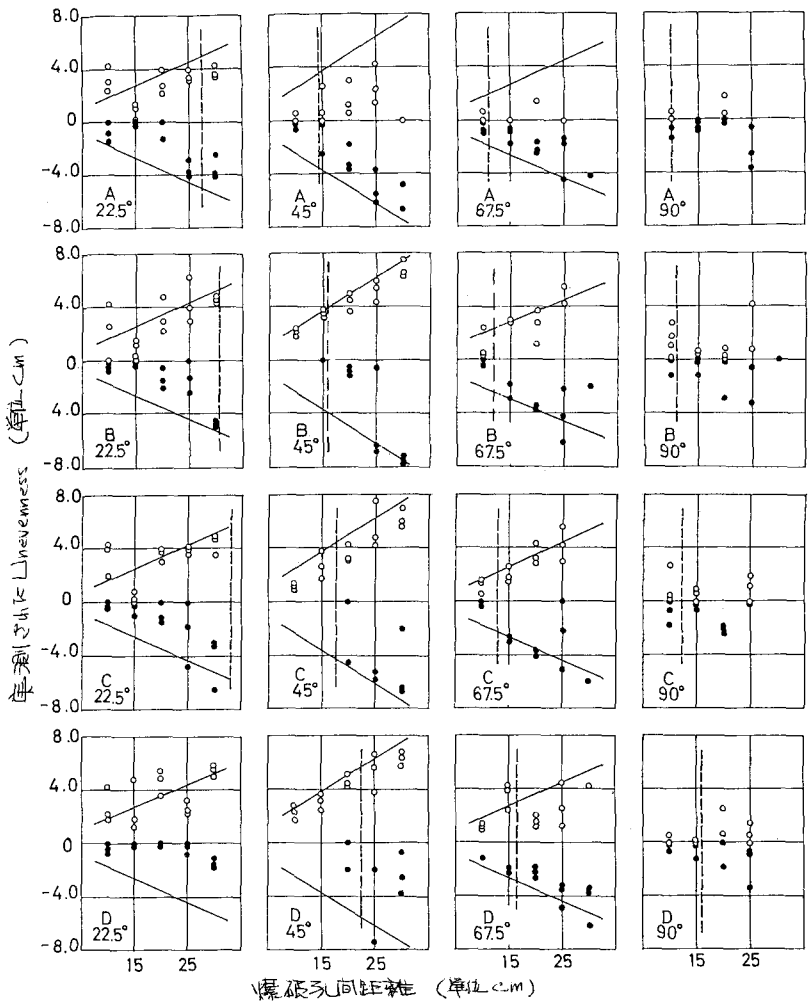


図-3 2-3 二重鏡面の実験条件 A 得られた L1evenness

に爆破孔からクラックが二重鏡面に垂直に発達したとする。二重鏡面と爆破孔を頂との交点を A, 爆破孔中心 C, C' から二重鏡面へ下した垂線の足を B, B' とし, B, B' から爆破孔を頂へ下した垂線の足を D, D' とする。クラックの発達が二重鏡面のみであるとすると直角の爆破孔の断面は $C'B'A'B$ で表され、L1evenness は $BD = -BD' = \frac{\sqrt{2}}{2} \sin \theta \cos \theta$ となり、爆破孔から二重鏡面までの距離は $CB = C'B' = \frac{\sqrt{2}}{2} \sin \theta$ となる。ここで θ は AUB 構造、B は二重鏡面の傾斜である。この CB の値を S, θ における図-6 に示す。同図には図-4 に示されたクラック発達傾向の限界となる S との W の値を記入して 2113 (ここと D に) 11.2 は W を 7.5 cm として 2113)。この図より各二重鏡条件と二重鏡面の傾きに対し 2 次元爆破孔からの衝撃波の影響および自由面の影響を無視するとして爆破孔から二重鏡面に向って発達するクラックが放射状となるか、单一となるかの限界値がこの直線の交点から得られる。この値を図-3 中に記入したもののが破線である。(以下この値を限界の初期値と呼ぶ。B の実験条件に) 11.2 は A と C との差が大きくなりことから W の値を A, C における平均値として仮に記入して 2113。) また前述のと B ある 11.2 は B で引かれる値を直角構造に対して示したもののが図中の実線である。これを直角構造と L1evenness と考えても呼ぶ。これより図-3 における爆破孔からの衝撃波の影響および自由面の影響を無視すれば、各図の S がより小さくなる。S に対して 2 次元爆破孔からのクラックは二重鏡面に対し放射状となる、大きさ S における垂直に近い单一へのものよりも可能性が高いことになる。すばやく S

より小さくなるに越しては正の Un-evenness は実線の値より大きくなり、負の Un-evenness は実線の値より小さくなる（絶対値：以下同じ）、
So より大きさに対する相対的な実線に対する値をとる可能性が高くなることを意味する。
このことを参考に図-3を考察すると次のよう
なことがいえる。

1) 全16枚の図をみると左下の9枚の図は比較的前述の口と S に対する Un-evenness の傾向に因る解釈をよく表わしていると言える。

2) A の例題(左から)ラックの発達が子連続面の位置に大きく反映されるのは $\theta = 22.5^\circ$ と $\theta = 45^\circ$ の孔隙角の比較的小さい場合のみである。 $\theta = 67.5^\circ, 90^\circ$ に対しては子連続面と直角な位置で常に左からラックの発達を示す。

3) $\theta = 90^\circ$ の場合口は常に 0 となる。So ほとんどの子連続条件に対して左からあたると 10~16 cm となるのであり、実測される Un-evenness も $S = 15$ cm が最小となる傾向がみられる。

4) $S = 30$ cm と $\theta = 22.5^\circ, 45^\circ$ の場合を除く孔隙角の破断面形成は困難となる。このことは現言する孔隙面形成条件に近い方の

2 个連続面が存在する場合には
かくみの大きさ
また孔隙角を元
げて孔隙の破
断面形成が特に
Un-evenness を
大きくすることなく可能であることを意味する。

5. 謙譲

本研究は日本化薬厚木工場において行つたものであり、実験に便宜とお許りいただいた石井工場長、社長奥義と手伝つてい
ただけた若木主任に感謝する。また東京に移りいただいた多數の山口大学の先生諸君に謝意を表する所存である。

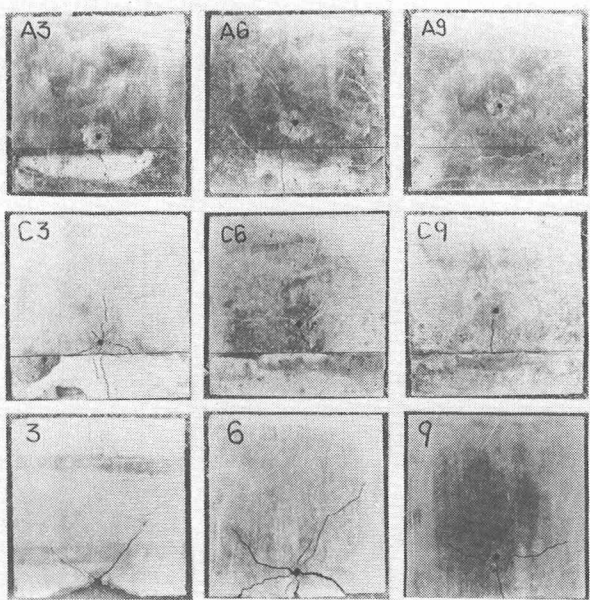


写真-2: 子連続面近くの発達が示されたラックの発達。

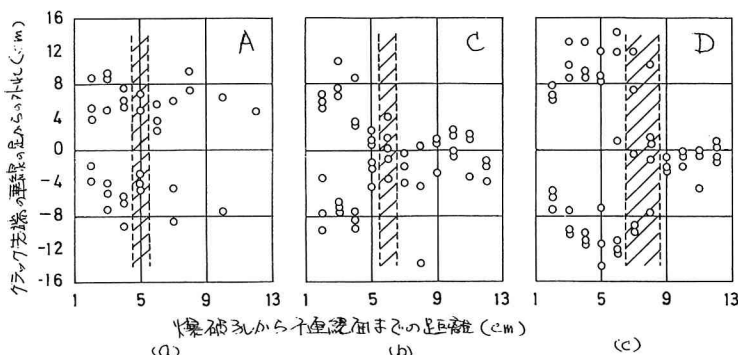


図-4 爆破孔から子連続面までの距離に対するラックの発達角との関係

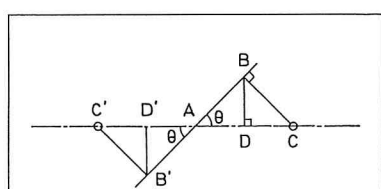


図-5 爆破孔から子連続面までの距離比
Linevenness

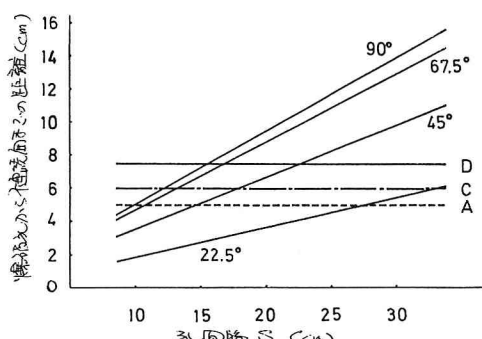


図-6 子連続面からの距離とラック発達角との関係

Effects of discontinuities on the smooth blasting contour formation

Koji Nakagawa, Takeshi Sakamoto,
Ken-ichi Hashimoto and Kazushi Fukutani

Since rock mass contains the geological discontinuities, it is required to clarify the effects of the discontinuities on the evenness of the smooth blasting contour. In order to simulate the propagation of blast cracks and the formation of smooth blasting contour in the rocks containing discontinuities, blasting tests were conducted by using concrete specimen which contains discontinuity plane.

Throughout the blasting tests, the following conclusions are summarized.

1. The blasted contour which connects the adjacent blast holes usually consists of blast cracks and pre-existing discontinuity plane.
2. When the blast hole is adjacent to the discontinuity plane, the cracks propagate radially from the blast hole and form a crater against the plane. When the blast hole is distant from the plane, only one crack may propagate perpendicularly to it.
3. When the discontinuity plane is thin and the angle between the discontinuity plane and SB plane is nearly rectangle, the cracks joining the blast holes may be straight in spite of the presence of the discontinuity plane.
4. When the discontinuity plane is thick or the blast hole is adjacent to the plane, the blasted contour contains the pre-existing discontinuity plane.
5. The unevenness of the contour is governed not only by the thickness of the discontinuity plane and the spacing between the holes but also by the angle between the discontinuity plane and SB plane.